

УДК 519.719.2

*С. В. Дорохин^{1,2}, С. С. Качков^{1,3}, А. А. Сидоренко^{1,3}*¹Московский физико-технический институт²АО «ПКК Миландр»³АО «Интел»

Реализация блочного шифра «Кузнечик» с использованием векторных инструкций

Целью данной работы является создание оптимизированной программной реализации блочного шифра ГОСТ Р 34.12 2015, известного как «Кузнечик». В ходе исследования был проведён анализ возможных средств улучшения скорости работы шифра. Основное внимание уделено использованию SIMD (Single Instruction Multiple Data) инструкций и учёту общедоступной информации об устройстве Execution Engine процессоров Intel®Core™ поколения Sandy Bridge и новее. Отличительной особенностью статьи является то, что в ней представлены измерения скорости зашифрования и расшифрования в режимах ECB, CBC, CFB, OFB на процессорах четырёх различных поколений (включая Kaby Lake R), в открытом доступе выложен исходный код высокоскоростной реализации и скриптового интерфейса для автоматического тестирования. Для дальнейшего ускорения используется набор команд AVX2. Предлагается использование 256-битных регистров для ускорения зашифрования и расшифрования в режиме ECB, расшифрования в режиме CFB.

Ключевые слова: ГОСТ Р 34.12 2015, высокоскоростная реализация, LSX-преобразование, блочный шифр, SSE, AVX.

*S. V. Dorokhin^{1,2}, S. S. Kachkov^{1,3}, A. A. Sidorenko^{1,3}*¹Moscow Institute of Physics and Technology²JSC "Milandr"³JSC "Intel"

Implementation of Kuznyechik cipher using vector instructions

This article is concentrated on highly-optimized implementation of block cipher GOST R 34.12 2015, also known as Kuznyechik. A comparative analysis of possible improvements is presented, with the SIMD (Single Instruction Multiple Data) instructions being in focus. The publicly available information about Intel®Core™ Execution Engine (starting with Sandy Bridge) was taken into consideration. AVX2 instruction set gets our special attention. The key feature of the article is that a cutting-edge open-source implementation is presented. The abovementioned implementation allows to compare 4 modes of operation, such as ECB, CBC, CFB and OFB. The results in this paper are given for 4 modern generations of Intel®Core™ line (with Kaby Lake R being the newest one). We also suggest using 256-bit ymm registers and AVX2 instruction set to boost ECB mode encryption & decryption and CFB mode decryption.

Key words: GOST R 34.12 2015, high-speed implementation, LSX-transform, block cipher, SSE, AVX.

1. Введение

«Кузнечик» представляет собой блочный шифр с размером блока 128 бит. Обозначим множество всевозможных двоичных строк длины s как V_s . Алгоритм зашифрования сводится к последовательному применению следующих операций:

- Побитовая операция сложения по модулю 2: $X[k](a) = k \oplus a$, где $k, a \in V_{128}$;
- Биективное нелинейное преобразование: $S(a) = S(a_{15}||\dots||a_0) = \pi(a_{15})||\dots||\pi(a_0)$, где $a_i \in V_8$, символом $||$ обозначена операция конкатенации, а $\pi : V_8 \rightarrow V_8$ — некоторая известная подстановка;
- Линейное преобразование: $L : V_{128} \rightarrow V_{128}$.

С учётом этих обозначений функции зашифрования $E[k]$ и расшифрования $D[k]$ могут быть представлены в следующем виде:

$$E_{k_1, \dots, k_{10}}(a) = X[k_{10}]LSX[k_9] \dots LSX[k_2]LSX[k_1](a);$$

$$D_{k_1, \dots, k_{10}}(a) = X[k_1]S^{-1}L^{-1}X[k_2] \dots S^{-1}L^{-1}X[k_9]S^{-1}L^{-1}X[k_{10}](a),$$

где k_1, \dots, k_{10} — раундовые ключи. Эти ключи вырабатываются один раз в начале алгоритма, вычисляются также с помощью X , S , и L преобразований и не оказывают существенного влияния на скорость работы шифра, поэтому в рамках статьи алгоритм развёртывания ключа не обсуждается. Здесь и далее раундовые ключи предполагаются уже вычисленными. Линейное преобразование L может быть осуществлено с помощью 16 циклов работы РСЛОС (регистра сдвига с линейной обратной связью), показанного на рис. 1.

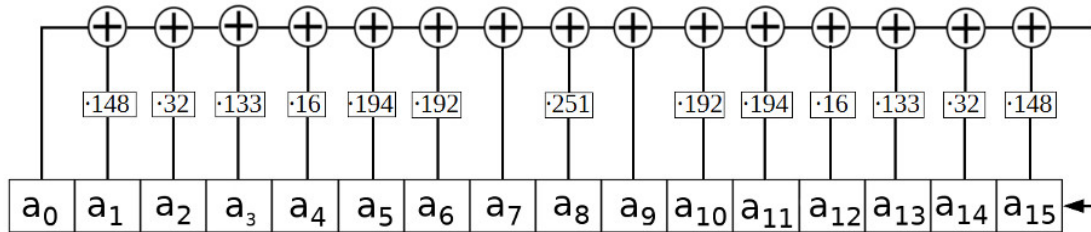


Рис. 1. РСЛОС, реализующий L -преобразование

Такое решение является предпочтительным при аппаратной реализации шифра, однако при создании программной реализации удобнее представить L преобразование в матричной форме. Результат работы одного такта РСЛОС можно записать в виде

$$\begin{pmatrix} a_{11} & a_{12} & a_{13} & a_{14} & a_{15} \\ a_{21} & a_{22} & a_{23} & a_{24} & a_{25} \\ a_{31} & a_{32} & a_{33} & a_{34} & a_{35} \\ a_{41} & a_{42} & a_{43} & a_{44} & a_{45} \\ a_{51} & a_{52} & a_{53} & a_{54} & a_{55} \end{pmatrix}$$

Соответственно, результат работы после k тактов:
формула

Применение L -преобразования в такой форме существенно быстрее, чем при моделировании РСЛОС. Однако профилирование программы при помощи утилиты callgrind показало, что на L преобразование приходится приблизительно 75% времени исполнения программы. Следуя принципу make common case fast, необходимо оптимизировать именно L -преобразование, чему, по существу, и посвящена эта статья.

2. Построение таблиц предвычислений

Для ускорения работы объединённого LS-преобразования используются заранее вычисленные таблицы (LUT, Lookup Table) - одна для прямого преобразования (шифрования), другая для обратного (расшифрования). На первом этапе строится матрица преобразования, соответствующая одному шагу работы сдвигового регистра, которая затем возводится в 4 степень (для получения 16 тактов работы регистра) - результатом является матрица L-преобразования. LUT имеет размер 16x256, каждый элемент которого является блоком данных из 16 байт, и строится по следующему принципу: $LUT[i][j]$ есть результат покомпонентного умножения $S[j]$ на i -ый столбец матрицы L-преобразования. Таким образом, для осуществления LS-преобразования над блоком необходимо произвести сложения по модулю 2 всех 16 блоков из LUT:

Листинг 1.1. XSL-преобразование с использованием LUT

```
void Grasshopper::ApplyXSL(Block& data, const Block& key)
{
    ApplyX(data, key);
    Block tmp{};
    for (size_t i = 0; i < block_size; i++)
        ApplyX(tmp, enc_ls_table[i][data[i]]);
    data = tmp;
}
```

3. Реализация с использованием векторных инструкций

3.1. Набор инструкций SSE

SSE добавить описание команд, посчитать суммарный CPI и latency, используя интелловский онлайн-справочник

3.2. Учёт особенностей планировщика

Дальнейшая оптимизация LS-преобразования может быть произведена с учётом возможностей суперскалярной архитектуры современных процессоров. Например, микроархитектура Intel Sandy Bridge имеет в своём распоряжении 2 исполнительных устройства для вычисления адреса (AGU - address generation unit), а также 3 ALU (arithmetic and logic unit), способные производить операции над векторными регистрами (ссылка на Intel 64 and IA-32 Architectures Optimization Reference Manual). Чтобы помочь планировщику выполнять загрузки блока из таблицы и суммирование по модулю 2 с результатом параллельно, можно использовать чередование регистров в этих командах:

Листинг 1.2. LS-преобразование с использованием чередования регистров

```
__m128i vec1 = _mm_load_si128(reinterpret_cast<const __m128i*>(table+
    _mm_extract_epi16(tmp2, 0)+0x0000));
__m128i vec2 = _mm_load_si128(reinterpret_cast<const __m128i*>(table+
    _mm_extract_epi16(tmp1, 0)+0x1000));

vec1 = _mm_xor_si128(vec1, CastBlock(table+_mm_extract_epi16(tmp2, 1)+0x2000));
vec2 = _mm_xor_si128(vec2, CastBlock(table+_mm_extract_epi16(tmp1, 1)+0x3000));

vec1 = _mm_xor_si128(vec1, CastBlock(table+_mm_extract_epi16(tmp2, 2)+0x4000));
vec2 = _mm_xor_si128(vec2, CastBlock(table+_mm_extract_epi16(tmp1, 2)+0x5000));
...
vec1 = _mm_xor_si128(vec1, CastBlock(table+_mm_extract_epi16(tmp2, 7)+0xE000));
vec2 = _mm_xor_si128(vec2, CastBlock(table+_mm_extract_epi16(tmp1, 7)+0xF000));
data = _mm_xor_si128(vec1, vec2);
```

3.3. Набор инструкций AVX

описать неудачную попытку использовать `ymm` регистры внутри `ApplyXSL`

4. Использование AVX2 в режимах ECB и CFB

В некоторых режимах шифрования можно обрабатывать сразу два блока данных, используя расширенные до 256 бит векторные регистры (расширение набора инструкций AVX2, поддерживаемое с Intel Haswell и AMD Excavator). Это возможно в тех случаях, когда шифрование (или расшифрование) текущего блока возможно производить независимо от предыдущего. В этой работе были реализованы следующие режимы работы шифра:

- ECB (Electronic Codebook)
- CBC (Cipher Block Chaining)
- CFB (Cipher Feedback)
- OFB (Output Feedback)

Данная оптимизация была осуществлена для шифрования и расшифрования в режиме ECB и для расшифрования в режиме CFB.

4.1. Модификация режима ECB

4.2. Модификация расшифрования в режиме CFB

5. Сравнительный анализ

Зависит от конкретного процессора! Зависит от архитектуры! (skylake и далее - лучше, РАЗОБРАТЬСЯ, ПОЧЕМУ) Посчитать `cpb` (clocks per byte)

6. Заключение

Текст заключения.

Литература

1. Алексеев Е. К., Попов В. О., Прохоров А. С., Смышляев С., Сонина Л. А. Об эксплуатационных качествах одного перспективного блочного шифра типа LSX // Математические вопросы криптографии. — 2015. — Т. 6, вып. 2. — С. 6–17.
2. Бородин М. А., Рыбкин А. С. Высокоскоростные программные реализации блочного шифра Кузнечик // Проблемы информационной безопасности. Компьютерные системы. — 2014. — Вып. 3. — С. 67–73.
3. Рыбкин А. С. О программной реализации алгоритма Кузнечик на процессорах Intel // Математические вопросы криптографии. — 2018. — Т. 9, вып. 2. — С. 117–127.

References

1. Alekseev E. K., Popov V. O., Prokhorov A. S., Smyshlyaev S. V., Sonina L. A. On the performance of one perspective LSX-based block cipher // Mathematical Aspects of Cryptography. — 2015. — V. 6, N. 2. — P. 6–17.
2. Borodin M. A., Rybkin A. S. High-Speed Software Implementation of Kuznyetchik block cipher. — Information Security Problems. Computer Systems — 2014. — N. 3 —P. 67-73.

3. *Ryбкин А. С.* On software implementation of Kuznyechik on Intel CPUs // Mathematical Aspects of Cryptography. — 2018. — V. 9, N. 1. — P. 117–127.

Поступила в редакцию dd.мм.гггг.

Сведения об авторах статей

(на момент подачи статьи)

Реализация блочного шифра «Кузнечик» с использованием векторных инструкций

Дорохин Семён Владимирович (нет, студент 4 курса, Московский физико-технический институт, студент 4 курса) dorohin.sv@phystech.edu

Качков Сергей Сергеевич (нет, студент 4 курса, Московский физико-технический институт, студент 4 курса) kachkov.ss@phystech.edu

Сидоренко Антон Андреевич (нет, студент 4 курса, Московский физико-технический институт, студент 4 курса) sidorenko.aa@phystech.edu

Ссылки на опубликованные статьи (в соответствии с ГОСТ Р 7.0.5-2008)

Дорохин С.В., Качков С.С., Сидоренко А.А. Реализация блочного шифра «Кузнечик» с использованием векторных инструкций // Труды МФТИ. — 2018. — Т. 10, № 4. — С. 1-??.

Dorokhin S.V., Kachkov S.S., Sidorenko A.A. Implementation of Kuznyechik cipher using vector instructions // Proceedings of MIPT. — 2018. — V. 10, N 4. — P. 1-??.